

# Manual do pacote computacional “Mo2D” para modelagem e simulação de mecanismos planos

Renato Maia Matarazzo Orsino

3 de julho de 2014

## 1 Metodologia geral para a modelagem de mecanismos planos

Seja  $\mathcal{S}$  um mecanismo plano, ou seja, um sistema mecânico formado por corpos rígidos em que todos realizam movimentos planos e todos os planos de movimento são paralelos entre si. Considere que este mecanismo seja formado por  $\nu_{\mathcal{B}} + 1$  corpos rígidos que serão denotados por  $\bar{\mathcal{B}}_n$  ( $n = 0, \dots, \nu_{\mathcal{B}}$ ). Seja ainda  $\bar{\mathcal{N}}$  um referencial inercial. Admite-se que o movimento com relação ao referencial  $\bar{\mathcal{N}}$  de um dos corpos do mecanismo, denominado base e denotado por  $\bar{\mathcal{B}}_0$ , é previamente conhecido. Denote-se por  $\mathcal{N}$  um sistema de coordenadas solidário ao referencial inercial  $\bar{\mathcal{N}}$ , com origem em  $\mathbf{n}_0$  e base ortonormal  $(\hat{\mathbf{n}}_1, \hat{\mathbf{n}}_2, \hat{\mathbf{n}}_3)$  com  $\hat{\mathbf{n}}_3$  sendo ortogonal ao planos de movimento dos corpos do mecanismo. Sejam ainda  $\mathcal{B}_n$  sistemas de coordenadas solidários aos respectivos corpos rígidos  $\bar{\mathcal{B}}_n$ .

Apesar de, em geral, os movimentos dos corpos do mecanismo ocorrerem em planos paralelos, para efeito de modelagem, pode-se descrever o movimento das projeções destes corpos rígidos sobre um plano passante por  $\mathbf{n}_0$  e ortogonal a  $\hat{\mathbf{n}}_3$ . Dessa forma, pode-se considerar que  $\bar{\mathcal{B}}_n$  seja efetivamente a projeção do respectivo corpo sobre este plano. Assim, as descrições das posições de dois pontos distintos de  $\bar{\mathcal{B}}_n$  são suficientes para a completa descrição do movimento deste corpo. Denotem-se estes dois pontos por  $\mathbf{b}_{n,1}$  e  $\mathbf{b}_{n,2}$  e definam-se as coordenadas generalizadas  $q_{N,n,1}$ ,  $q_{N,n,2}$ ,  $q_{N,n,3}$  e  $q_{N,n,4}$  de tal forma que:

$$\begin{cases} \mathbf{r}(\mathbf{n}_0, \mathbf{b}_{n,1}) = q_{N,n,1} \hat{\mathbf{n}}_1 + q_{N,n,2} \hat{\mathbf{n}}_2 \\ \mathbf{r}(\mathbf{n}_0, \mathbf{b}_{n,2}) = q_{N,n,3} \hat{\mathbf{n}}_1 + q_{N,n,4} \hat{\mathbf{n}}_2 \end{cases} \quad (1)$$

Pelo fato de  $\bar{\mathcal{B}}_n$  ser um corpo rígido, existe uma constante  $a_{n,1,2}$  tal que:

$$(q_{N,n,1} - q_{N,n,3})^2 + (q_{N,n,2} - q_{N,n,4})^2 - a_{n,1,2}^2 = 0 \quad (2)$$

Além disso, considere a definição das seguintes velocidades generalizadas para cada corpo

rígido  $\bar{B}_n$ :

$$\begin{cases} {}^N\mathbf{v}^{b_{n,1}} = \rho_{N,n,1} \hat{\mathbf{n}}_1 + \rho_{N,n,2} \hat{\mathbf{n}}_2 \\ {}^N\mathbf{v}^{b_{n,2}} = \rho_{N,n,3} \hat{\mathbf{n}}_1 + \rho_{N,n,4} \hat{\mathbf{n}}_2 \\ {}^N\boldsymbol{\omega}^{B_n} = \rho_{B,n,3} \hat{\mathbf{n}}_3 \end{cases} \quad (3)$$

Fica evidente que  $\rho_{N,n,i} = \dot{q}_{N,n,i}$  para  $i = 1, 2, 3, 4$ . Além disso, pelo fato de  $\bar{B}_n$  ser um corpo rígido,  $({}^N\mathbf{v}^{b_{n,2}} - {}^N\mathbf{v}^{b_{n,1}}) = {}^N\boldsymbol{\omega}^{B_n} \times \mathbf{r}(b_{n,1}, b_{n,2})$ , o que leva às seguintes identidades:

$$\begin{cases} \rho_{N,n,1} - \rho_{N,n,3} + \rho_{B,n,3}(q_{N,n,2} - q_{N,n,4}) = 0 \\ \rho_{N,n,2} - \rho_{N,n,4} - \rho_{B,n,3}(q_{N,n,1} - q_{N,n,3}) = 0 \end{cases} \quad (4)$$

Em um sistema mecânico podem ocorrer casos em que apenas um ponto do corpo seja suficiente para a descrição de seu movimento. Nestas situações, não há a necessidade de se adotar quaisquer equações vinculares das formas (2) ou (4). Por outro lado, pode haver casos em que é conveniente utilizar mais de dois pontos para a descrição do movimento de um dado corpo rígido do sistema. Considere, por exemplo, que  $\nu_{b,n}$  pontos são adotados para a descrição do movimento de  $\bar{B}_n$ . A abordagem até aqui apresentada pode ser estendida tomando para  $i = 1, \dots, \nu_{b,n}$  e  $j = 2, \dots, \nu_{b,n}$ :

$$\mathbf{r}(n_0, b_{n,i}) = q_{N,n,(2i-1)} \hat{\mathbf{n}}_1 + q_{N,n,(2i)} \hat{\mathbf{n}}_2 \quad (5)$$

$$(q_{N,n,(2i-1)} - q_{N,n,(2j-1)})^2 + (q_{N,n,(2i)} - q_{N,n,(2j)})^2 - a_{n,i,j}^2 = 0 \quad \text{para } i < j \quad (6)$$

$${}^N\mathbf{v}^{b_{n,i}} = \rho_{N,n,(2i-1)} \hat{\mathbf{n}}_1 + \rho_{N,n,(2i)} \hat{\mathbf{n}}_2 \quad (7)$$

$$\begin{cases} \rho_{N,n,1} - \rho_{N,n,(2j-1)} + \rho_{B,n,3}(q_{N,n,2} - q_{N,n,(2j)}) = 0 \\ \rho_{N,n,2} - \rho_{N,n,(2j)} - \rho_{B,n,3}(q_{N,n,1} - q_{N,n,(2j-1)}) = 0 \end{cases} \quad (8)$$

Denote-se por  $b_n^*$  o centro de massa de  $\bar{B}_n$ . Sejam  $b_{n,i}$  e  $b_{n,j}$  dois pontos de  $\bar{B}_n$  escolhidos para a descrição de seu movimento. Pode-se afirmar que existem duas constantes  $\hat{a}_{n,1}$  e  $\hat{a}_{n,2}$  tais que para qualquer configuração do corpo seja válida a identidade:

$$\mathbf{r}(b_{n,i}, b_n^*) = \hat{a}_{n,1} \mathbf{r}(b_{n,i}, b_{n,j}) + \hat{a}_{n,2} \hat{\mathbf{n}}_3 \times \mathbf{r}(b_{n,i}, b_{n,j}) \quad (9)$$

Da derivada temporal desta identidade decorre:

$${}^N\mathbf{v}^{b_n^*} = (1 - \hat{a}_{n,1}) {}^N\mathbf{v}^{b_{n,i}} + \hat{a}_{n,1} {}^N\mathbf{v}^{b_{n,j}} + \hat{a}_{n,2} \hat{\mathbf{n}}_3 \times ({}^N\mathbf{v}^{b_{n,j}} - {}^N\mathbf{v}^{b_{n,i}}) \quad (10)$$

Considere que todo o sistema de forças aplicado sobre o corpo rígido  $\bar{B}_n$  pode ser reduzido à uma força resultante  $w_{n,1} \hat{\mathbf{n}}_1 + w_{n,2} \hat{\mathbf{n}}_2$  aplicada em seu centro de massa e um torque  $w_{n,3} \hat{\mathbf{n}}_3$ . Adotando a notação  $f_-^{\{n\}}$  para denotar a parcela de  $f_-$  devida ao corpo  $\bar{B}_n$ ,

pode-se afirmar que:

$$\begin{bmatrix} f_{N,n,2i-1}^{\{n\}} \\ f_{N,n,2i}^{\{n\}} \\ f_{N,n,2j-1}^{\{n\}} \\ f_{N,n,2j}^{\{n\}} \\ f_{B,n,3}^{\{n\}} \end{bmatrix} = \begin{bmatrix} 1 - \hat{a}_{n,1} & -\hat{a}_{n,2} & 0 \\ \hat{a}_{n,2} & 1 - \hat{a}_{n,1} & 0 \\ \hat{a}_{n,1} & \hat{a}_{n,2} & 0 \\ -\hat{a}_{n,2} & \hat{a}_{n,1} & 0 \\ 0 & 0 & 1 \end{bmatrix} \begin{bmatrix} w_{n,1} \\ w_{n,2} \\ w_{n,3} \end{bmatrix} \quad (11)$$

Analogamente, definindo  $\hat{a}_{n,3} = (\hat{a}_{n,1} - 1)^2 + \hat{a}_{n,2}^2$ ,  $\hat{a}_{n,4} = \hat{a}_{n,1}^2 + \hat{a}_{n,2}^2$  e  $\hat{a}_{n,5} = \hat{a}_{n,2}^2 + (\hat{a}_{n,1} - 1)\hat{a}_{n,1}$ , e denotando  $m_n$  a massa do corpo  $\bar{B}_n$ , por  $I_n$  o momento de inércia deste corpo com relação a um eixo paralelo à direção de  $\hat{n}_3$  passante por seu centro de massa  $\mathbf{b}_n^*$  e por  $\tilde{f}_-^{\{n\}}$  a parcela de  $\tilde{f}_-$  devida ao corpo  $\bar{B}_n$ , tem-se:

$$\begin{bmatrix} \tilde{f}_{N,n,2i-1}^{\{n\}} \\ \tilde{f}_{N,n,2i}^{\{n\}} \\ \tilde{f}_{N,n,2j-1}^{\{n\}} \\ \tilde{f}_{N,n,2j}^{\{n\}} \\ \tilde{f}_{B,n,3}^{\{n\}} \end{bmatrix} = \begin{bmatrix} -m_n \hat{a}_{n,3} & 0 & m_n \hat{a}_{n,5} & m_n \hat{a}_{n,2} & 0 \\ 0 & -m_n \hat{a}_{n,3} & -m_n \hat{a}_{n,2} & m_n \hat{a}_{n,5} & 0 \\ m_n \hat{a}_{n,5} & -m_n \hat{a}_{n,2} & -m_n \hat{a}_{n,4} & 0 & 0 \\ m_n \hat{a}_{n,2} & m_n \hat{a}_{n,5} & 0 & -m_n \hat{a}_{n,4} & 0 \\ 0 & 0 & 0 & 0 & -I_n \end{bmatrix} \begin{bmatrix} \dot{p}_{N,n,2i-1}^{\{n\}} \\ \dot{p}_{N,n,2i}^{\{n\}} \\ \dot{p}_{N,n,2j-1}^{\{n\}} \\ \dot{p}_{N,n,2j}^{\{n\}} \\ \dot{p}_{B,n,3}^{\{n\}} \end{bmatrix} \quad (12)$$

Suponha que dois corpos  $\bar{B}_{n_1}$  e  $\bar{B}_{n_2}$  deste mecanismo constituam uma junta rotativa e considere, sem perda de generalidade  $n_1 < n_2$ . Como o mecanismo é plano, o eixo desta junta permanece sempre paralelo à direção do vetor unitário  $\hat{n}_3$ . Dessa forma, tal junta pode ser caracterizada pelo par ordenado de pontos  $(\mathbf{b}_{n_1,i_1}, \mathbf{b}_{n_2,i_2})$  em que  $\mathbf{b}_{n_1,i_1}$  e  $\mathbf{b}_{n_2,i_2}$  são os respectivos pontos de  $\bar{B}_{n_1}$  e  $\bar{B}_{n_2}$  que pertencem ao eixo da junta rotativa constituída por estes corpos. Neste caso, o vínculo existente entre os corpos demanda que as coordenadas generalizadas e velocidades generalizadas utilizadas para a descrição dos movimentos destes dois pontos sejam idênticas. Sendo  $n_1 < n_2$ , as variáveis que adotadas para a descrição do movimento do ponto  $\mathbf{b}_{n_2,i_2}$  podem ser eliminadas do modelo, bastando tomar  $q_{N,n_2,2i_2-1} = q_{N,n_1,2i_1-1}$ ,  $q_{N,n_2,2i_2} = q_{N,n_1,2i_1}$ ,  $p_{N,n_2,2i_2-1} = p_{N,n_1,2i_1-1}$  e  $p_{N,n_2,2i_2} = p_{N,n_1,2i_1}$ . Como consequência desta identificação entre variáveis, deve-se definir  $f_{N,n_1,2i_1-1}^{\{n_2\}} = f_{N,n_2,2i_2-1}^{\{n_2\}}$ ,  $f_{N,n_1,2i_1}^{\{n_2\}} = f_{N,n_2,2i_2}^{\{n_2\}}$ ,  $\tilde{f}_{N,n_1,2i_1-1}^{\{n_2\}} = \tilde{f}_{N,n_2,2i_2-1}^{\{n_2\}}$  e  $\tilde{f}_{N,n_1,2i_1}^{\{n_2\}} = \tilde{f}_{N,n_2,2i_2}^{\{n_2\}}$ . Dessa forma, após todas as eliminações de variáveis de movimento devido a existência de juntas rotativas no mecanismo, pode-se afirmar que:

$$\begin{cases} f_{N,n,\ell} = \sum_{k \geq n} f_{N,n,\ell}^{\{k\}} \\ \tilde{f}_{N,n,\ell} = \sum_{k \geq n} \tilde{f}_{N,n,\ell}^{\{k\}} \end{cases} \quad (13)$$

Ainda, caso a junta rotativa entre  $\bar{B}_{n_1}$  e  $\bar{B}_{n_2}$  seja ativa, ou seja, caso haja um atuador fornecendo um torque  $u_{R,n_1,n_2}$  para controlar o movimento rotação relativa entre os corpos,

é conveniente definir uma nova velocidade generalizada  $\rho_{R,n_1,n_2}$  satisfazendo à seguinte equação vincular:

$$\rho_{R,n_1,n_2} - (\rho_{B,n_2,3} - \rho_{B,n_1,3}) = 0 \quad (14)$$

Desta forma, pode-se afirmar que:

$$\begin{cases} f_{R,n_1,n_2} = u_{R,n_1,n_2} \\ \tilde{f}_{R,n_1,n_2} = 0 \end{cases} \quad (15)$$

Considere agora que a junta constituída pelos corpos  $\bar{B}_{n_1}$  e  $\bar{B}_{n_2}$  ( $n_1 < n_2$ ) seja prismática. Neste caso, não há movimento de rotação de  $\bar{B}_{n_2}$  relativamente a  $\bar{B}_{n_1}$ , sendo possível eliminar a velocidade generalizada  $\rho_{B,n_2,3}$  do modelo uma vez que  $\rho_{B,n_2,3} = \rho_{B,n_1,3}$ . Neste caso, devem-se definir  $f_{B,n_1,3}^{\{n_2\}} = f_{B,n_2,3}^{\{n_2\}}$ ,  $\tilde{f}_{B,n_1,3}^{\{n_2\}} = \tilde{f}_{B,n_2,3}^{\{n_2\}}$ . Após todas as eliminações de velocidades generalizadas devido a existência de juntas prismáticas no mecanismo, pode-se afirmar que:

$$\begin{cases} f_{B,n,3} = \sum_{k \geq n} f_{B,n,3}^{\{k\}} \\ \tilde{f}_{B,n,3} = \sum_{k \geq n} \tilde{f}_{B,n,3}^{\{k\}} \end{cases} \quad (16)$$

Ainda, sabe-se que dois pontos  $\mathbf{b}_{n_1,i_1}$  e  $\mathbf{b}_{n_1,j_1}$  ( $i_1 < j_1$ ) de  $\bar{B}_{n_1}$  e um ponto  $\mathbf{b}_{n_2,i_2}$  de  $\bar{B}_{n_2}$ , todos tomados sobre o eixo desta junta, permanecerão sempre alinhados<sup>1</sup>. A fim de descrever o este outro vínculo imposto por tal junta, é conveniente a definição de uma coordenada generalizada  $q_{P,n_1,n_2}$  e de uma velocidade generalizada  $\rho_{P,n_1,n_2} = \dot{q}_{P,n_1,n_2}$ . Dessa forma, tal vínculo é descrito pelas seguintes equações:

$$\begin{cases} a_{n_1,i_1,j_1} q_{N,n_2,(2i_2-1)} - (a_{n_1,i_1,j_1} - q_{P,n_1,n_2}) q_{N,n_1,(2i_1-1)} - q_{P,n_1,n_2} q_{N,n_1,(2j_1-1)} = 0 \\ a_{n_1,i_1,j_1} q_{N,n_2,(2i_2)} - (a_{n_1,i_1,j_1} - q_{P,n_1,n_2}) q_{N,n_1,(2i_1)} - q_{P,n_1,n_2} q_{N,n_1,(2j_1)} = 0 \end{cases} \quad (17)$$

Finalmente, havendo um atuador nesta junta prismática controlando por meio de uma força  $u_{P,n_1,n_2}$  a translação relativa entre os corpos  $\bar{B}_{n_1}$  e  $\bar{B}_{n_2}$ , pode-se afirmar que<sup>2</sup>:

$$\begin{cases} f_{P,n_1,n_2} = u_{P,n_1,n_2} \\ \tilde{f}_{P,n_1,n_2} = 0 \end{cases} \quad (18)$$

---

<sup>1</sup>Sem perda de generalidade, a descrição da junta prismática também pode ser feita tomando dois pontos de  $\bar{B}_{n_2}$  e apenas um ponto de  $\bar{B}_{n_1}$  sobre o eixo desta junta.

<sup>2</sup>Em caso de junta prismática passiva, basta considerar  $u_{P,n_1,n_2}$  identicamente nulo.

## 2 Pacote computacional “Mo2D” para modelagem e simulação de mecanismos planos

A partir das considerações metodológicas apresentadas nesta seção, foi desenvolvido um pacote de funções no programa Wolfram Mathematica denominada “Mo2D” para produzir modelos matemáticos e simulações numéricas diretas e inversas de mecanismos planos, bastando fornecer uma descrição básica dos corpos rígidos que compõem tais sistemas e das juntas existentes entre tais corpos. Esta subseção visa explicar a utilização das funções que constituem este pacote. Nas próximas subseções serão apresentados exemplos de modelagem e simulação de mecanismos planos utilizando tais funções.

A função `Initialize` esvazia todas as listas utilizadas em uma rotina de modelagem e simulação. Deve ser declarada sem argumentos ao início de qualquer rotina, por questões de segurança:

---

```
1 Initialize [ ]
```

---

A principal função deste pacote é `RigidBody`, utilizada para definir um novo corpo rígido para o sistema. Esta função deve ser declarada da seguinte forma:

---

```
1 RigidBody[n,  $\nu_{b,n}$ , {{i, j}}, { $\hat{a}_{n,1}$ ,  $\hat{a}_{n,2}$ },  $m_n$ ,  $I_n$ , { $g_{n,1}$ ,  $g_{n,2}$ }, { $w_{n,1}$ ,  $w_{n,2}$ ,  $w_{n,3}$ }]
```

---

De forma coerente com a notação adotada nesta seção,  $n$  representa o índice do corpo rígido  $\bar{B}_n$  que se deseja declarar (deve ser um número inteiro),  $\nu_{b,n}$  representa o número de nós (pontos) escolhidos para descrever o movimento deste corpo,  $i$  e  $j$  são os índices dos nós utilizados para a descrição da posição do centro de massa  $\mathbf{b}_n^*$  de  $\bar{B}_n$  e  $\hat{a}_{n,1}$  e  $\hat{a}_{n,2}$  são os parâmetros adimensionais utilizados para tal descrição, conforme a equação (9);  $m_n$  e  $I_n$  são respectivamente a massa de  $\bar{B}_n$  e o momento de inércia deste corpo com relação a um eixo passante por  $\mathbf{b}_n^*$  e com a direção do vetor unitário  $\hat{\mathbf{n}}_3$ ;  $g_{n,1}$  e  $g_{n,2}$  representam as componentes segundo  $\hat{\mathbf{n}}_1$  e  $\hat{\mathbf{n}}_2$  da resultante de forças de campo por unidade de massa do corpo  $\bar{B}_n$  (tipicamente, são componentes da aceleração da gravidade segundo tais vetores unitários);  $w_{n,1}$ ,  $w_{n,2}$  e  $w_{n,3}$  são as componentes do sistema reduzido (com relação a  $\mathbf{b}_n^*$ ) de forças e torques ativos resultantes sobre  $\bar{B}_n$ , conforme equação (11).

Basicamente, esta função define insere na lista `NodesIndexes` elementos da forma  $\{N, n, i\}$  ( $i = 1, \dots, \nu_{b,n}$ ), na lista `CoordinatesIndexes` elementos da forma  $\{N, n, \ell\}$  ( $\ell = 1, \dots, 2\nu_{b,n}$ ), e na lista `QuasivelocitiesIndexes` elementos da forma  $\{N, n, \ell\}$  ( $\ell = 1, \dots, 2\nu_{b,n}$ ) além de  $\{B, n, 3\}$ . Assim em todas as demais funções do pacote, caso alguma destas listas não tenha sido declarada ainda, sua declaração como lista vazia é feita automaticamente. À lista `QuasivelocitiesTransformations` são adicionados elementos da forma  $\dot{q}_{N,n,\ell} - p_{N,n,\ell}$  ( $\ell = 1, \dots, 2\nu_{b,n}$ ), à lista `HolonomicConstraintEquations` são adicionados os primeiros membros das equações (6) e à lista `ConstraintEquations` são adicionados os primeiros membros das equações (8). Eventuais duplicatas e expressões identicamente nulas são eliminadas destas listas pela função. Além disso, os  $f_{N,n,\ell}^{\{n\}}$ ,  $\tilde{f}_{N,n,\ell}^{\{n\}}$  ( $\ell = 1, \dots, 2\nu_{b,n}$ ),  $f_{B,n,3}^{\{n\}}$  e  $\tilde{f}_{B,n,3}^{\{n\}}$  são

computados de acordo com as expressões dadas nas equações (11, 12).

A função `RevoluteJoint`, por sua vez, define uma junta prismática entre os corpos  $\bar{B}_{n_1}$  e  $\bar{B}_{n_2}$  na qual os pontos  $\mathbf{b}_{n_1, i_1}$  e  $\mathbf{b}_{n_2, i_2}$  (pertencentes respectivamente a  $\bar{B}_{n_1}$  e  $\bar{B}_{n_2}$ ) permanecem sobre o eixo desta junta, e deve ser declarada da seguinte forma:

---

1 `RevoluteJoint` [ $n_1, i_1, n_2, i_2, u_{R, n_1, n_2}$ ]

---

Caso a junta seja passiva, deve-se adotar  $u_{R, n_1, n_2} = 0$ . Caso contrário, deve-se substituir  $u_{R, n_1, n_2}$  pela expressão do torque fornecido pelo atuador (em caso de simulação dinâmica direta) ou por uma função incógnita (em caso de simulação dinâmica inversa). Considerando que  $q_{N, n_2, 2i_2-1} = q_{N, n_1, 2i_1-1}$ ,  $q_{N, n_2, 2i_2} = q_{N, n_1, 2i_1}$ ,  $p_{N, n_2, 2i_2-1} = p_{N, n_1, 2i_1-1}$  e  $p_{N, n_2, 2i_2} = p_{N, n_1, 2i_1}$ , tal função elimina as variáveis correspondentes do corpo de maior  $n$  (dentre  $n_1$  e  $n_2$ ) identificando-as com as correspondentes variáveis do corpo de menor  $n$ . Além disso, caso a junta seja ativa, a função adiciona à lista `QuasivelocitiesIndexes` o elemento  $\{R, n_1, n_2\}$ , caso  $n_1 < n_2$ , ou o elemento  $\{R, n_2, n_1\}$ , caso  $n_1 > n_2$ , e à lista `ConstraintEquations` o primeiro membro da equação (14). Além disso, as respectivas contribuições de força ativa e de inércia associadas a esta nova velocidade generalizada são calculadas de acordo com o sistema de equações (18).

A função `PrismaticJoint` define uma junta prismática entre os corpos  $\bar{B}_{n_1}$  e  $\bar{B}_{n_2}$ , considerando que os pontos  $\mathbf{b}_{n_1, i_1}$  e  $\mathbf{b}_{n_1, j_1}$  de  $\bar{B}_{n_1}$  e  $\mathbf{b}_{n_2, i_2}$  de  $\bar{B}_{n_2}$  encontram-se sobre o eixo desta junta. Sua declaração deve ter a seguinte forma:

---

1 `PrismaticJoint` [ $n_1, i_1, j_1, n_2, i_2, u_{P, n_1, n_2}$ ]

---

Seja  $n'_1 = \min\{n_1, n_2\}$  e  $n'_2 = \max\{n_1, n_2\}$ . Considerando que  $p_{B, n'_2, 3} = p_{B, n'_1, 3}$ , a variável  $p_{B, n'_2, 3}$  é eliminada, sendo identificada com  $p_{B, n'_1, 3}$ . Às listas `CoordinatesIndexes` e `QuasivelocitiesIndexes` é adicionado o elemento  $\{P, n'_1, n'_2\}$  e à lista `QuasivelocitiesTransformations` o elemento  $\dot{q}_{P, n'_1, n'_2} - p_{P, n'_1, n'_2}$ . À lista `HolonomicConstraintEquations` são adicionados os primeiros membros das equações do sistema (17) e à lista `ConstraintEquations` são adicionadas as derivadas temporais destas expressões. Além disso,  $f_{P, n'_1, n'_2}$  e  $\tilde{f}_{P, n'_1, n'_2}$  são definidos segundo a equação (18).

A função `PrismaticRevoluteJoint` representa a superposição de uma junta rotativa e uma junta prismática, sendo declarada da seguinte forma:

---

1 `PrismaticRevoluteJoint` [ $n_1, i_1, j_1, n_2, i_2, u_{P, n_1, n_2}, u_{R, n_1, n_2}$ ]

---

Nesta função, nenhuma variável é eliminada. Os demais procedimentos realizados por esta função são uma sobreposição dos realizados pelas funções `PrismaticJoint` e `RevoluteJoint`.

A função `BaseBody` fixa um dos corpos rígidos ao referencial inercial  $\bar{N}$ . A declaração desta função é feita por meio do índice  $n$  do corpo base  $\bar{B}_n$  e por uma lista  $\{q_{N, n, \ell} == \dots\}$  em que são declarados os valores fixos das coordenadas dos nós definidos para o corpo  $\bar{B}_n$ , conforme ilustrado a seguir:

---

1 `BaseBody` [ $n, \{q_{N, n, \ell} == \dots\}$ ]

---

Esta função elimina do modelo associa aos  $q_{N,n,\ell}$  seus respectivos valores constantes, além de estabelecer a nulidade dos  $p_{N,n,\ell}$  associados e de  $p_{B,n,3}$ .

A função `AddQuasivelocity` permite ao usuário do pacote definir uma velocidade generalizada adicional ( $p_j$ ) caso isto seja conveniente. Neste caso, ainda pode-se definir as contribuições para forças ativas e forças de inércia generalizadas associadas a esta variável ( $f_j$  e  $\tilde{f}_j$ ) respectivamente. Sua declaração é feita da seguinte forma:

---

```
1 AddQuasivelocity[pj[t], fj, ftildej]
```

---

Esta função adiciona o elemento  $\{j\}$  à lista `QuasivelocitiesIndexes`.

A função `AddCoordinate` permite ao usuário do pacote definir uma coordenada generalizada adicional ( $q_i$ ) caso isto seja conveniente. Ainda é requerido que o usuário forneça nesta função uma expressão da forma  $\beta_i(q_i, \dot{q}_i, p_j) = 0$  associando  $\dot{q}_i$  a alguns dos  $p_j$  previamente definidos. Sua declaração tem a forma:

---

```
1 AddQuasivelocity[qi[t], beta(qi, qdoti, pj)]
```

---

Esta função adiciona o elemento  $\{j\}$  à lista `CoordinatesIndexes` e a expressão  $\beta_i$  à lista `QuasivelocitiesTransformations`.

A função `AddConstraintEquation` permite ao usuário do pacote inserir, segundo sua conveniência, uma nova equação vincular da forma  $\psi_k(t, q_i, p_j) = 0$  ao modelo. Sua declaração tem a forma:

---

```
1 AddConstraintEquation[psi_k(t, qi, pj)]
```

---

Esta função adiciona a expressão  $\psi_k$  à lista `ConstraintEquations`.

A função `AddHolonomicConstraintEquation` permite ao usuário do pacote inserir, segundo sua conveniência, uma nova equação vincular da forma  $\eta_k(t, q_i) = 0$  ao modelo. Sua declaração tem a forma:

---

```
1 AddConstraintEquation[eta_k(t, qi)]
```

---

Esta função adiciona a expressão  $\eta_k$  à lista `HolonomicConstraintEquations`.

A função `VariableReduction` deve ser declarada após as eventuais ocorrências das funções anteriormente mencionadas nesta subseção. Sua declaração ocorre sem argumentos:

---

```
1 VariableReduction[ ]
```

---

Esta função cria a lista `Coordinates[t]` contendo todas as coordenadas do sistema (dentre as automaticamente definidas pelas funções e as definidas pelo usuário), já considerando todas as eliminações feitas. Os índices dessas coordenadas são postos na lista `VariableCoordinatesIndexes`. Analogamente são definidas as listas `Quasivelocities[t]` e `VariableQuasivelocitiesIndexes` para as velocidades generalizadas. Na lista `ExplicitQuasivelocitiesTransformations` são computadas as expressões da forma  $\dot{q}_i^*(t, q_i, p_j)$  para os  $\dot{q}_i$  e na lista `GeneralizedForces-Model` são computadas as expressões dos  $f_-$  e dos  $\tilde{f}_-$  utilizando os algoritmos das equações (13, 16).

A função `DynamicModel` deve ser declarada posteriormente à `VariableReduction`, também sem argumentos:

---

1 `DynamicModel[ ]`

---

Esta função calcula o jacobiano  $\mathbf{A}$  das equações vinculares do sistema (`ConstraintJacobian`) e cria uma função para o cálculo de  $\mathbf{C}^T$  denominanda `ConstraintMatrix`. cujo único argumento é uma lista de substituições. Caso todos os valores numéricos das variáveis de movimento sejam fornecidos por esta lista,  $\mathbf{C}^T$  é computada numericamente. Caso a lista seja vazia, a expressão analítica de  $\mathbf{C}^T$  é computada. Na lista `GeneralizedForces` computam-se os valores de  $(\mathbf{f} + \tilde{\mathbf{f}})$ , enquanto `DynamicEquations` é outra função que computa o valor de  $\mathbf{C}^T(\mathbf{f} + \tilde{\mathbf{f}})$  para o sistema, dado uma lista de substituições. Novamente, caso tal lista seja vazia, a expressão analítica de  $\mathbf{C}^T(\mathbf{f} + \tilde{\mathbf{f}})$  é computada. A matriz de inércia generalizada do sistema  $\mathbf{M}$  também é computada (`GeneralizedInertiaMatrix`).

Finalmente, após todas estas declarações, pode-se fazer simulações numéricas inversa e direta utilizando o modelo computado. Para simulações dinâmicas inversas, utiliza-se a função `InverseSimulation` que deve ser declarada da seguinte forma:

---

1 `InverseSimulation [SimulationLabel,  $t^*$ , SimulationData, InitialNodalCoordinates, PrescribedCoordinatesIndexes, PrescribedMotionsFunctions,  $\{b_1, b_2\}$ , InverseSimulationUnknowns, InverseDynamicsMethod]`

---

Nesta função, `SimulationLabel` é uma cadeia de caracteres ou um número inteiro que denomina a particular simulação,  $t^*$  é o tempo total de simulação (número real), `SimulationData` é uma lista de substituições que deve conter todos os valores numéricos dos parâmetros que ainda não foram fornecidos (por exemplo,  $\{g \rightarrow 9.8, m_1 \rightarrow 1., m_2 \rightarrow 0.2, \dots\}$ ), `InitialNodalCoordinates` é uma lista contendo equações que fornecem as condições iniciais de todas as coordenadas da forma  $q_{N,n,\ell}$  em `Coordinates[t]` e das coordenadas definidas pelo usuário (por exemplo,  $\{q_{N,1,1}[0] == 0.8, q_{N,1,2}[0] == 0.1, \dots\}$ ), `PrescribedCoordinatesIndexes` é uma lista com os índices das coordenadas prescritas pelo usuário (por exemplo, se o usuário deseja prescrever as coordenadas  $q_{N,2,5}$  e  $q_3$ , a correspondente lista de índices deve ser  $\{\{N, 2, 5\}, \{3\}\}$ ), `PrescribedMotionsFunctions` é uma lista com as respectivas funções puras que prescrevem os movimentos desejados pelo usuário (por exemplo, caso o usuário deseje que  $q_{N,2,5}(t) = \sin(2\pi t)$  e  $q_3(t) = \pi t$ , deve definir esta lista como  $\{\text{Sin}[2\pi \#] \&, \pi \# \&\}$ ),  $b_1 = b_3$  e  $b_2$  são constantes de estabilização de Baumgarte e `InverseSimulationUnknowns` é uma lista contendo as incógnitas da simulação dinâmica inversa (por exemplo, se as incógnitas forem  $u_1$  e  $u_{R,3,7}$ , esta lista é dada por  $\{u_1, u_{R,3,7}\}$ ). Finalmente, `InverseDynamicsMethod` é um seletor de método para a simulação dinâmica inversa. Pode ser uma expressão da forma `{"Continuous"}`, caso em que a simulação dinâmica inversa será feita utilizando a função `NDSolve` do Mathematica, ou uma expressão da forma `{"Discrete",  $\nu_t$ }`, caso em que a simulação dinâmica inversa calculará o valor das incógnitas em apenas  $\nu_t$  instantes de tempo do intervalo  $0 \leq t \leq t^*$  e fornecerá o resultado na forma de uma



função interpoladora utilizando estes pontos. Por exemplo, suponha que a `SimulationLabel` escolhida foi `SI`: neste caso, após a execução da função `InverseSimulation`, a variável  $u_{1,SI}$  fornecerá uma função interpoladora, definida no intervalo  $0 \leq t \leq t^*$  que representará os valores de  $u_1$  na simulação `SI`. Analogamente,  $p_{N,2,5,SI}$  representa os valores de  $p_{N,2,5}$  na simulação `SI`, etc. É relevante mencionar ainda que após a execução desta função, as seguintes variáveis são definidas:

- **InitialCoordinates**: lista de substituições contendo os valores iniciais de todas as coordenadas generalizadas, bem como das constantes  $a_{n,i,j}$ ;
- **KinematicSimulationR1**: lista de substituições contendo os valores iniciais de todas as variáveis de movimento (estado) do sistema;
- **KinematicSimulationR2**: lista de substituições contendo as funções interpoladoras (definidas no intervalo  $0 \leq t \leq t^*$ ) de todas as variáveis de estado do sistema;
- **DynamicSimulationR**: lista de substituições contendo as funções interpoladoras (definidas no intervalo  $0 \leq t \leq t^*$ ) de todas as incógnitas da simulação dinâmica inversa (`InverseSimulationUnknowns`);
- **Animation[t]**: Gráfico de linhas que representa a configuração instantânea dos nós do sistema no instante  $t$  ( $0 \leq t \leq t^*$ ).

Caso o usuário deseje fazer uma simulação dinâmica direta, a função a ser utilizada é `DirectSimulation`:

---

1 `DirectSimulation[SimulationLabel, t*, SimulationData, InitialNodalStates, {b1, b2}]`

---

A lista `InitialNodalStates` deve conter equações que fornecem as condições iniciais de todas as coordenadas da forma  $q_{N,n,\ell}$  em `Coordinates[t]`, de todas as velocidades generalizadas da forma  $p_{N,n,\ell}$  em `Quasivelocities[t]`, bem como das coordenadas e velocidades generalizadas definidas pelo usuário. Neste caso, a lista `SimulationData` deve conter as regras para a substituição dos  $u_-$  por suas respectivas expressões em função das variáveis de estado e do tempo. Neste caso, suponha que a `SimulationLabel` escolhida foi `SD`:  $q_{1,SD}$  é uma função interpoladora (definida no intervalo  $0 \leq t \leq t^*$ ) que representa os valores de  $q_1$  na simulação `SD`,  $p_{N,2,5,SD}$  é uma função interpoladora (definida no intervalo  $0 \leq t \leq t^*$ ) que representa os valores de  $p_{N,2,5}$  na simulação `SD`, etc. Após a execução desta função, as seguintes variáveis são definidas:

- **InitialStates**: lista de substituições contendo os valores iniciais de todas as coordenadas e velocidades generalizadas, bem como das constantes  $a_{n,i,j}$ ;
- **DirectDynamicSimulationR**: lista de substituições contendo as funções interpoladoras (definidas no intervalo  $0 \leq t \leq t^*$ ) de todas as variáveis de estado do sistema;

- `DirectDynamicsAnimation[t]`: Gráfico de linhas que representa a configuração instantânea dos nós do sistema no instante  $t$  ( $0 \leq t \leq t^*$ ).

As subseções seguintes apresentarão uma série de exemplos de aplicações deste pacote de funções à modelagem de diversos mecanismos bidimensionais.

### 3 Modelagem e simulações dinâmicas direta e inversa de um pêndulo simples utilizando o pacote “Mo2D”

Considere um pêndulo simples formado por uma barra rígida e de inércia desprezível que tem fixa em uma de suas extremidades uma partícula material de massa  $m$ ; a outra extremidade desta barra encontra-se vinculada por meio de uma junta rotativa a uma base fixa a um referencial inercial  $\bar{N}$ , de tal forma que o eixo desta junta é ortogonal à direção do campo gravitacional local. Seja o corpo rígido  $\bar{B}_0$  a base, e o corpo  $\bar{B}_1$  a barra. A massa do pêndulo encontra-se concentrada sobre o ponto  $b_{1,1}$  da barra e o eixo da junta rotativa passa pelos pontos  $b_{1,2}$  e  $b_{0,1}$ . Por questões de conveniência, deseja-se definir adicionalmente uma coordenada  $q_0$  que mede o ângulo formado entre a linha definida pelos pontos  $b_{1,1}$  e  $b_{1,2}$  e a horizontal. Toma-se o vetor unitário  $\hat{n}_2$  paralelo e com sentido oposto ao campo gravitacional local e o vetor unitário  $\hat{n}_3$  paralelo ao eixo da junta rotativa entre os corpos. O seguinte código, que utiliza funções do pacote “Mo2D”, modela e faz duas simulações numéricas (uma direta e outra inversa) para este sistema:

---

```

1 Initialize [ ]
2 RigidBody[0, 1, {{1, 1}, {0, 0}}, 0, 0, {0,-g}, {0,0,0}]
3 RigidBody[1, 2, {{1, 2}, {0, 0}}, m, 0, {0,-g}, {0,0,0}]
4 BaseBody[0, {Subscript[q, "N",0,1]==0, Subscript[q, "N",0,2]==0}]
5 RevoluteJoint[1, 2, 0, 1, Subscript[u, 1][t]]
6 AddCoordinate[Subscript[q, 0][t], Subscript[q, 0][t] - Subscript[p, "B",1,3][t]]
7 VariableReduction[ ]
8 DynamicModel[ ]
9 InverseSimulation["SI", 4., {g->9.8, m->1}, {Subscript[q, "N",1,1][0]==0.8, Subscript[q, "N",
    ,1,2][0]==0.6, Subscript[q, 0][0]== ArcSin[0.6]}, {{0}}, {ArcSin[0.6]-Pi Sin[Pi #]&}, {1, 1}, {
    Subscript[u, 1]}, {"Continuous"}]
10 DirectSimulation["SD", 10., {g->9.8, m->1, Subscript[u, 1]->0}, {Subscript[q, "N",1,1]'[0]==0.,
    Subscript[q, "N",1,2]'[0]==0., Subscript[q, 0]'[0]== 0., Subscript[q, "N",1,1][0]==0.8,
    Subscript[q, "N",1,2][0]==-0.6, Subscript[q, 0][0]== -ArcSin[0.6]}, {1, 1}]

```

---

A partir deste código, pode-se, por exemplo, utilizar a função `Solve` do Mathematica sobre as equações dinâmicas (acessíveis pelo comando `DynamicEquations[{}]`) e vinculares do sistema (estas últimas em forma diferencial, ou seja, acessíveis pelo comando `D[ConstraintEquations, t]`) para obter a expressão analítica das equações diferenciais que

regem este sistema. Após simplificações, as seguintes equações são obtidas:

$$\left\{ \begin{array}{l} \dot{q}_0 = p_{B,1,3} \\ \dot{q}_{N,1,1} = p_{N,1,1} \\ \dot{q}_{N,1,2} = p_{N,1,2} \\ \dot{p}_{N,1,1} = -p_{B,1,3}^2 q_{N,1,1} + \frac{g q_{N,1,2} q_{N,1,1}}{a_{1,1,2}^2} + \frac{u_1 q_{N,1,2}}{m a_{1,1,2}^2} \\ \dot{p}_{N,1,2} = -p_{B,1,3}^2 q_{N,1,2} - \frac{g q_{N,1,1}^2}{a_{1,1,2}^2} - \frac{u_1 q_{N,1,1}}{m a_{1,1,2}^2} \\ \dot{p}_{B,1,3} = -\frac{g q_{N,1,1}}{a_{1,1,2}^2} - \frac{u_1}{m a_{1,1,2}^2} \\ \dot{p}_{R,0,1} = -\frac{g q_{N,1,1}}{a_{1,1,2}^2} - \frac{u_1}{m a_{1,1,2}^2} \end{array} \right. \quad (19)$$

Ainda, no código apresentado, a função `InverseSimulation` é declarada para executar simulação dinâmica inversa de 4 segundos, denominada SI, com os parâmetros  $g = 9,8 \text{ m/s}^2$ ,  $m = 1 \text{ kg}$  e condições iniciais  $q_{N,1,1}(0) = 0,8 \text{ m}$ ,  $q_{N,1,2}(0) = 0,6 \text{ m}$  e  $q_0(0) = \arcsin(0,6)$ . Nesta simulação, a coordenada  $q_0$  é prescrita pela função  $q_0(t) = \arcsin(0,6) - \pi \sin(\pi t)$ . As constantes de estabilização de Baumgarte adotadas são  $b_1 = b_3 = 1$  e  $b_2 = 1$  e a incógnita é o torque  $u_1$  que deve ser fornecido pelo atuador presente na junta rotativa formada pela base  $\bar{B}_0$  e pela barra  $\bar{B}_1$ . Os gráficos das Figuras 1 a 3 exibem os históricos temporais de algumas das variáveis que descrevem o movimento do sistema, o gráfico da Figura 4 mostra o histórico temporal dos torque fornecido pelo atuador para que o sistema realize o movimento prescrito e os gráficos das Figuras 5 e 6 mostram o controle dos erros numéricos nas simulações cinemáticas e dinâmicas.

A função `DirectSimulation`, por sua vez, é usada para definir uma simulação dinâmica direta de 10 segundos, denominada SD, com os parâmetros  $g = 9,8 \text{ m/s}^2$ ,  $m = 1 \text{ kg}$ ,  $u_1 = 0$ , e condições iniciais  $q_{N,1,1}(0) = 0,8 \text{ m}$ ,  $q_{N,1,2}(0) = -0,6 \text{ m}$ ,  $q_0(0) = -\arcsin(0,6)$ ,  $\dot{q}_{N,1,1}(0) = 0$ ,  $\dot{q}_{N,1,2}(0) = 0$  e  $\dot{q}_0(0) = 0$ . As constantes de estabilização de Baumgarte adotadas são  $b_1 = b_3 = 1$  e  $b_2 = 1$ .

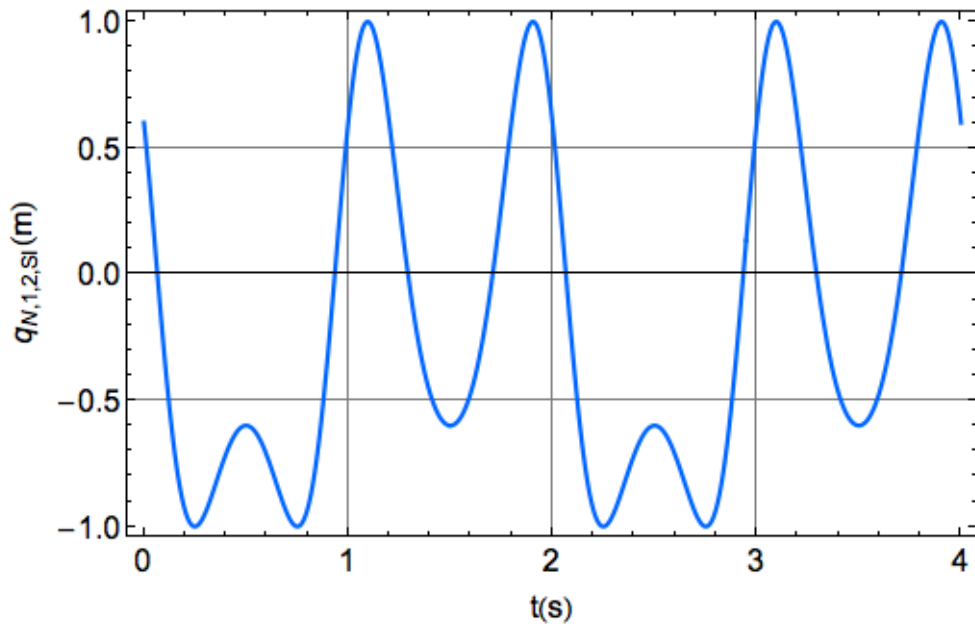


Figura 1: Histórico temporal da coordenada generalizada  $q_{N,1,2}$  na simulação SI.

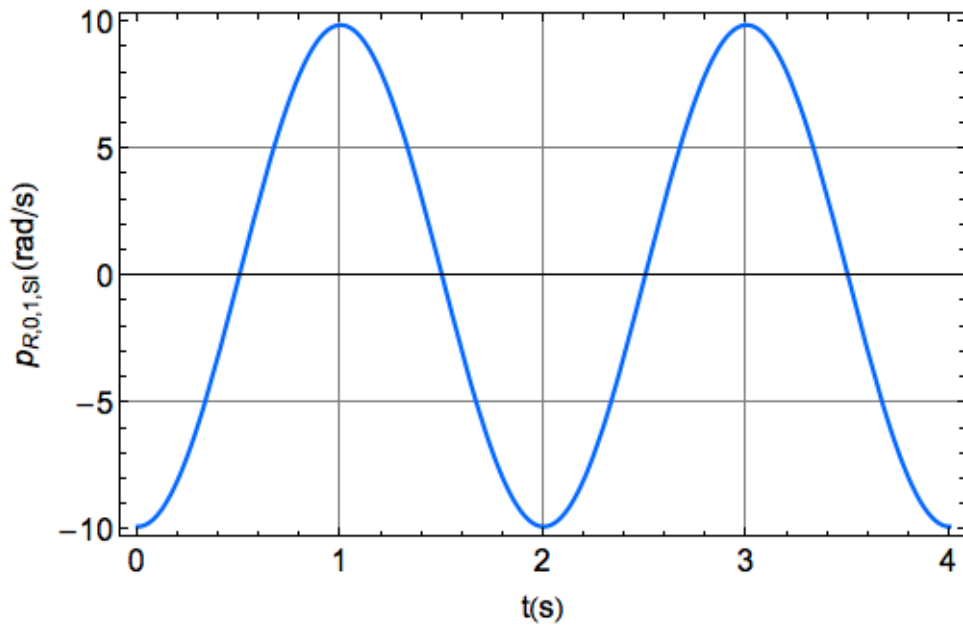


Figura 2: Histórico temporal da velocidade generalizada  $p_{R,0,1}$  na simulação SI.

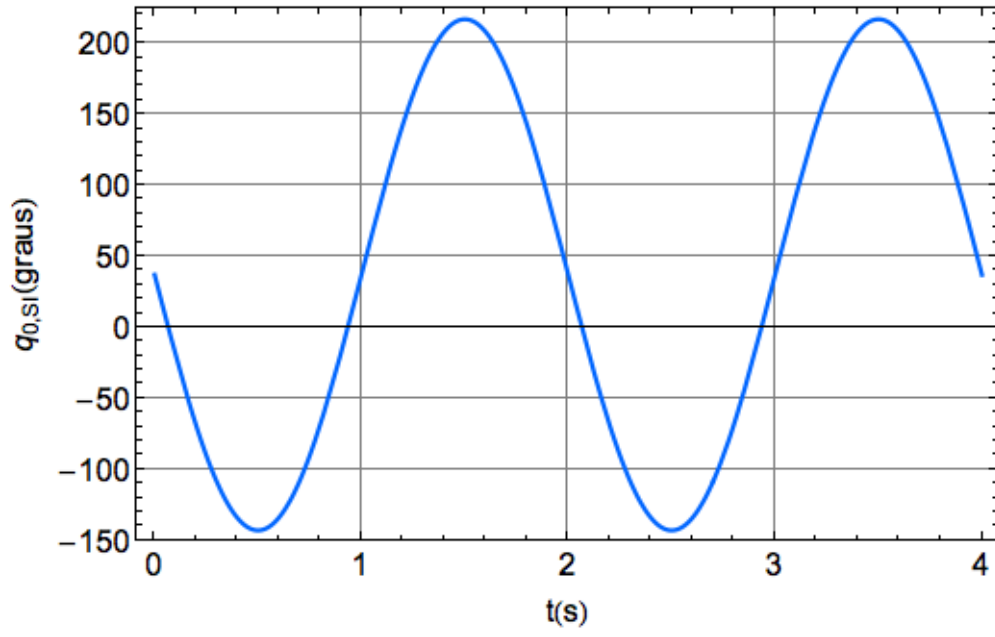


Figura 3: Histórico temporal da coordenada generalizada  $q_0$  na simulação SI.

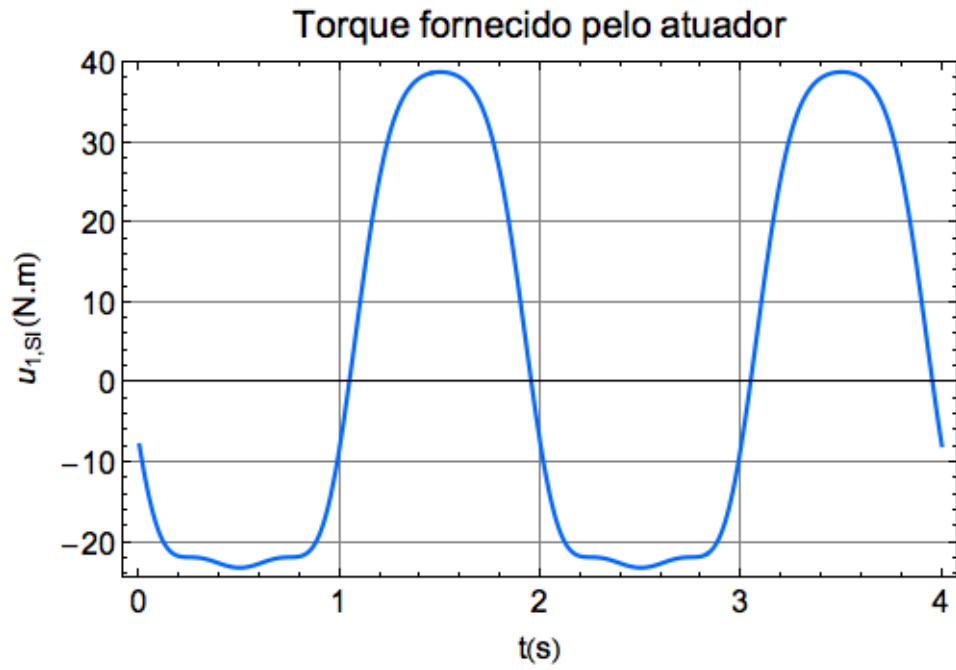


Figura 4: Histórico temporal do torque fornecido pelo atuador na simulação SI.

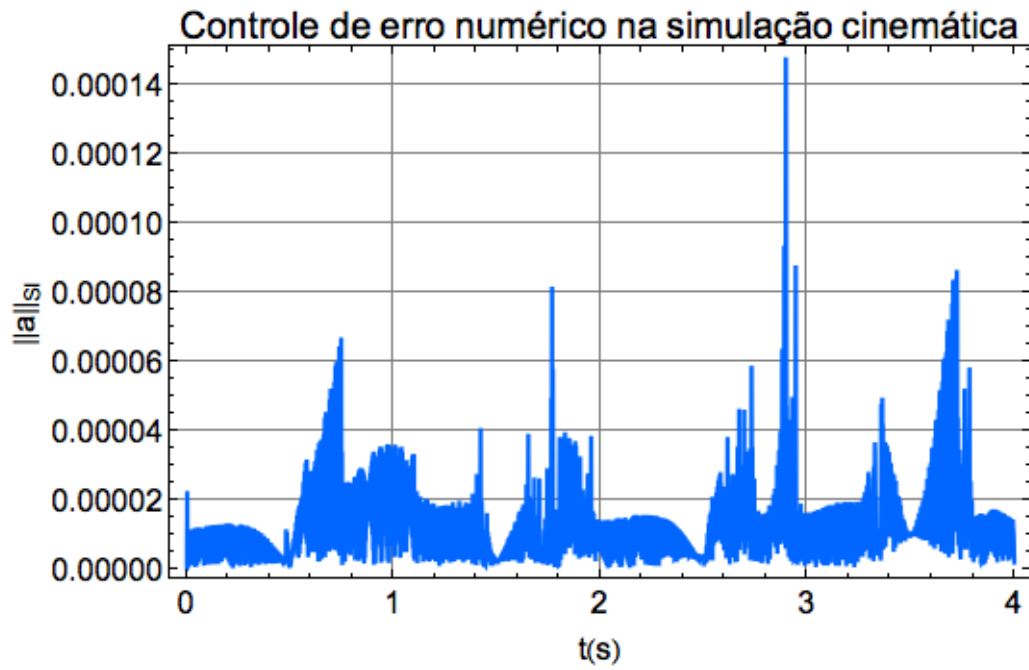


Figura 5: Histórico temporal do erro  $\|\mathbf{a}\|$  na solução numérica das equações vinculares na simulação SI.

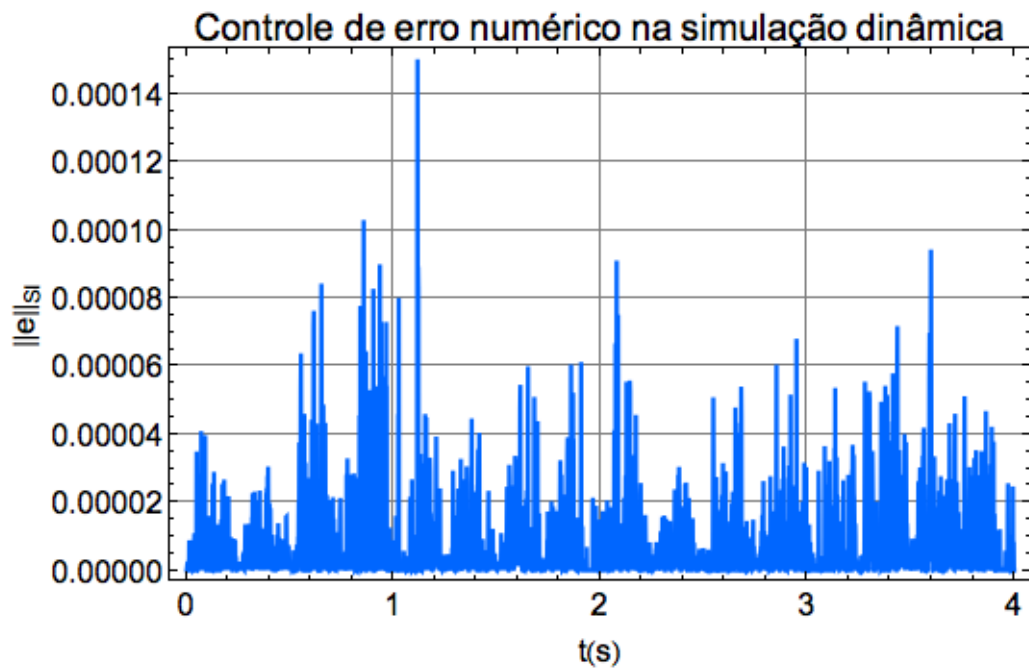


Figura 6: Histórico temporal do erro  $\|\mathbf{e}\|$  na solução numérica das equações dinâmicas na simulação SI.

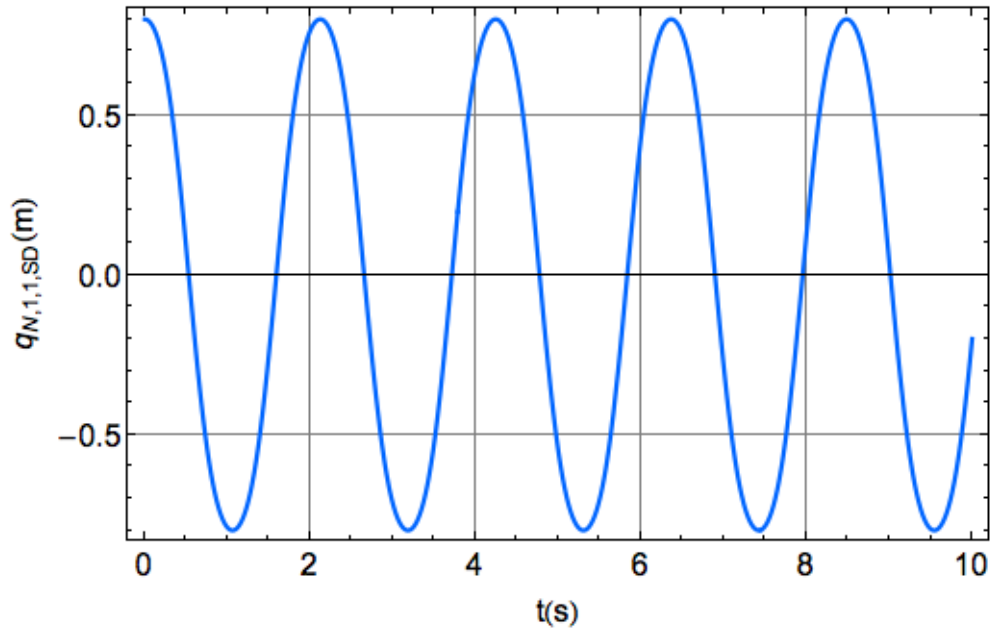


Figura 7: Histórico temporal da coordenada generalizada  $q_{N,1,1}$  na simulação SD.

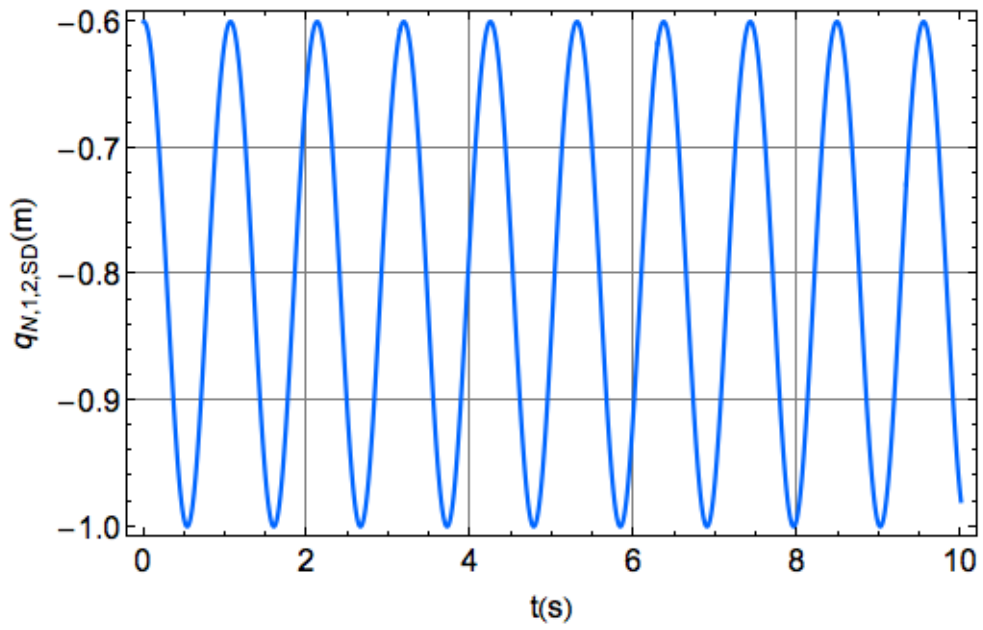


Figura 8: Histórico temporal da coordenada generalizada  $q_{N,1,2}$  na simulação SD.

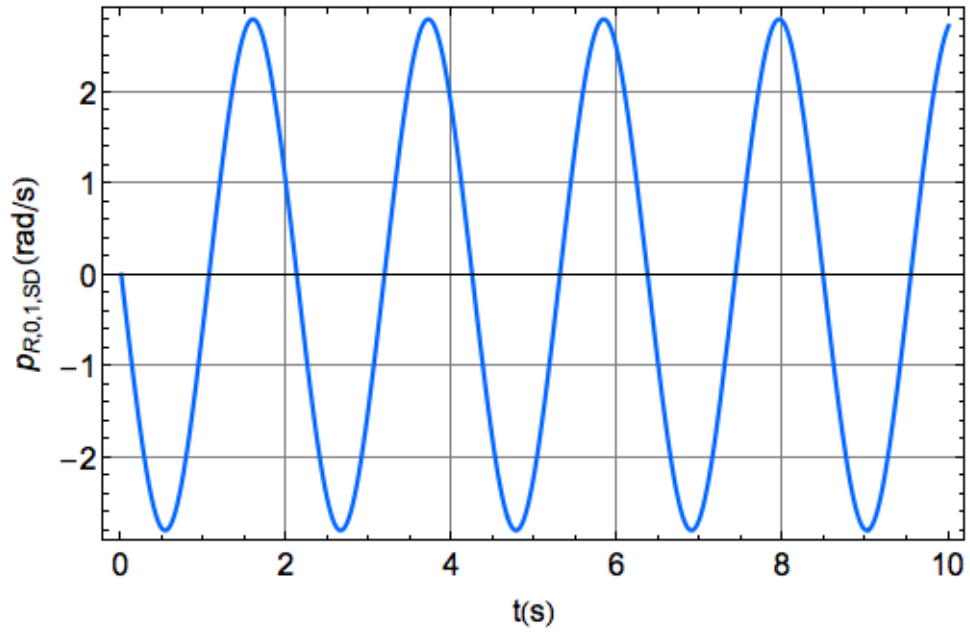


Figura 9: Histórico temporal da velocidade generalizada  $p_{R,0,1}$  na simulação SD.

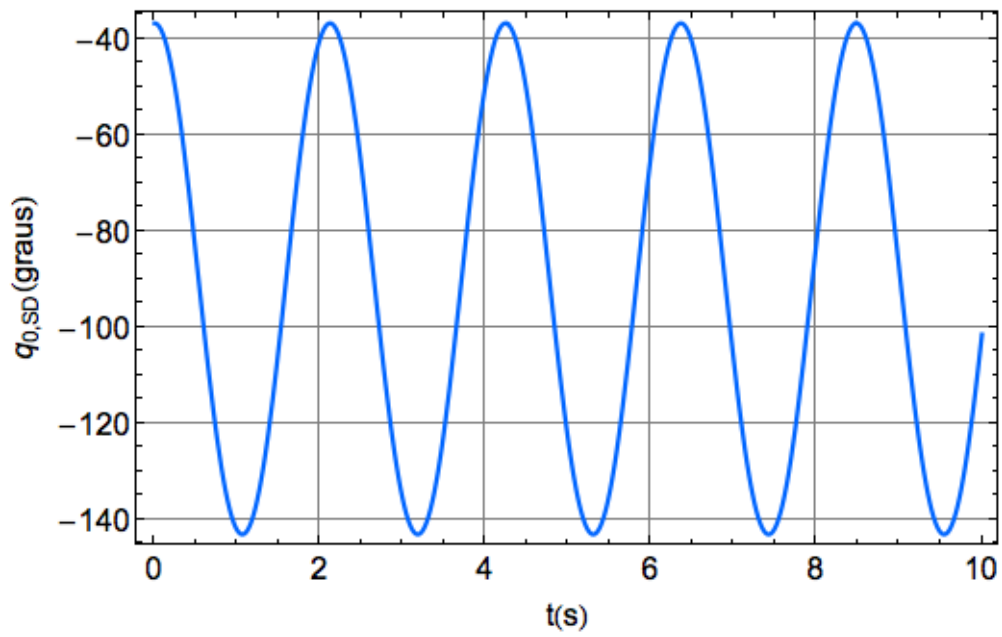


Figura 10: Histórico temporal da coordenada generalizada  $q_0$  na simulação SD.



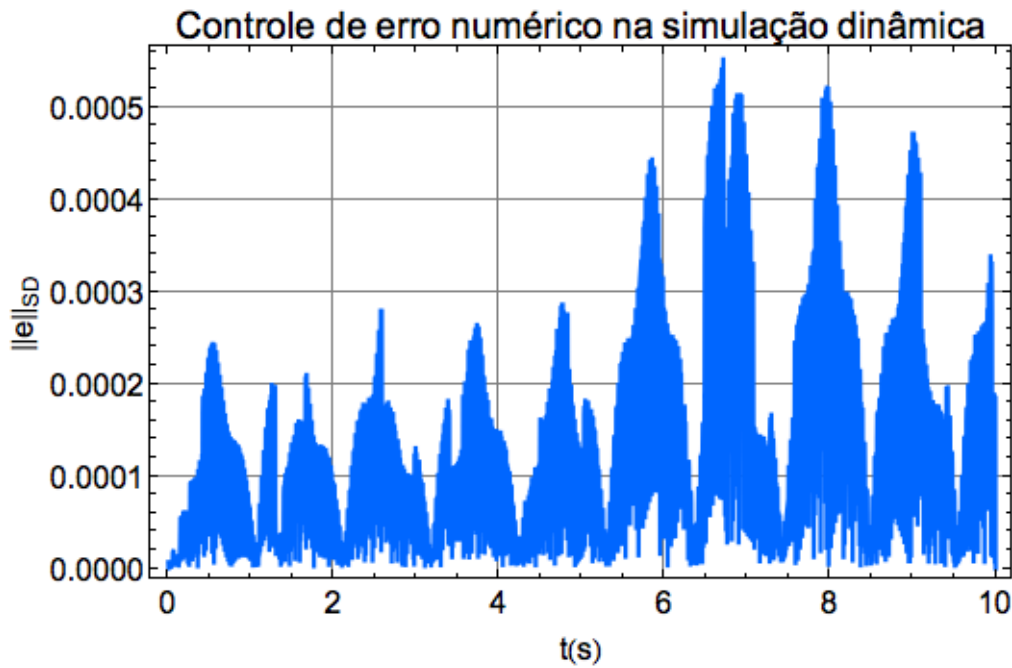


Figura 11: Histórico temporal do erro  $\|e\|$  na solução numérica das equações dinâmicas na simulação SD.

## 4 Modelagem e simulação dinâmica inversa de um mecanismo de retorno rápido de Whitworth utilizando o pacote “Mo2D”

Considere a representação do mecanismo de retorno rápido apresentada na Figura 12. O seguinte código pode ser utilizado para a modelagem deste sistema:

---

```

1 Initialize [ ]
2 RigidBody [0,4,{1,1},{0,0}],0,0,{0,0},{0,0,0}]
3 RigidBody [1,1,{1,1},{0,0}],Subscript[m, 1],0,{0,0},{0,0,0}]
4 RigidBody [2,2,{1,2},{1/2,0}],Subscript[m, 2],Subscript[\[ Capitallota ], 2],{0,0},{0,0,0}]
5 RigidBody [3,2,{1,2},{1/2,0}],Subscript[m, 3],Subscript[\[ Capitallota ], 3],{0,0},{0,0,0}]
6 RigidBody [4,2,{1,2},{0,0}],Subscript[m, 4],Subscript[\[ Capitallota ], 4],{0,0},{0,0,0}]
7 BaseBody[0,{Subscript[q, "N",0,1]==0,Subscript[q, "N",0,2]==0,Subscript[q, "N",0,3]==0,Subscript
  [q, "N",0,4]==0.3,Subscript[q, "N",0,5]==0,Subscript[q, "N",0,6]==0.8,Subscript[q, "N"
    ,0,7]==0.001,Subscript[q, "N",0,8]==0.8}]
8 PrismaticJoint [0,3,4,1,1,0]
9 RevoluteJoint [1,1,2,1,0]
10 RevoluteJoint [2,2,3,2,0]
11 RevoluteJoint [0,1,3,1,0]
12 RevoluteJoint [0,2,4,1, Subscript[u, 1][t]]
13 PrismaticRevoluteJoint [3,1,2,4,2,0,0]

```

```

14 AddCoordinate[Subscript[q, 1][t], Subscript[q, 1]'[t] - Subscript[p, "B", 4, 3][t]]
15 VariableReduction[ ]
16 DynamicModel[ ]

```

Este código define o corpo  $\bar{B}_0$  como sendo a base deste mecanismo (solidária ao referencial inercial  $\bar{N}$ ), e define as coordenadas dos nós  $b_{0,1}$ ,  $b_{0,2}$ ,  $b_{0,3}$  e  $b_{0,4}$  como sendo respectivamente,  $(0, 0)$ ,  $(0, 0,3\text{ m})$ ,  $(0, 0,8\text{ m})$  e  $(0,001\text{ m}, 0,3\text{ m})$ . Supõe-se que os corpos  $\bar{B}_2$  e  $\bar{B}_3$  têm centro de massa no ponto médio entre seus nós extremos e o corpo  $\bar{B}_4$  tem centro de massa sobre o ponto  $b_{4,1}$ . No pacote, são definidas juntas rotativas entre os corpos  $\bar{B}_0$  e  $\bar{B}_3$ ,  $\bar{B}_0$  e  $\bar{B}_4$ ,  $\bar{B}_1$  e  $\bar{B}_2$ ,  $\bar{B}_2$  e  $\bar{B}_3$ , uma junta prismática entre os corpos  $\bar{B}_0$  e  $\bar{B}_1$  e uma junta dada pela sobreposição entre uma rotativa e uma prismática entre os corpos  $\bar{B}_3$  e  $\bar{B}_4$ . Dentre estas, a única junta ativa é a rotativa entre os corpos  $\bar{B}_0$  e  $\bar{B}_4$ , na qual se considera que há um atuador fornecendo um torque  $u_1$ . Além disso, supõe-se que o mecanismo está montado sobre um plano horizontal, de tal forma que não há influência do campo gravitacional nos movimentos do mesmo. Ainda, por questões de conveniência, é definida a coordenada angular  $q_1$  cuja derivada temporal é igual à velocidade generalizada  $p_{B,4,3}$ .

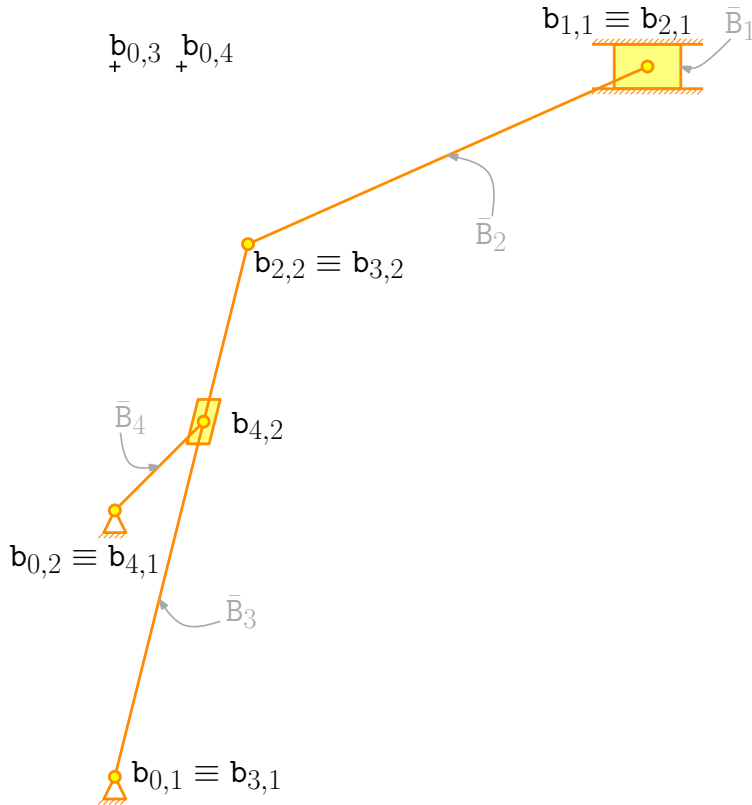


Figura 12: Representação do mecanismo de retorno rápido de Whitworth.

O seguinte código foi utilizado para definir uma simulação inversa, denominada SI na qual prescreveu-se a coordenada angular  $q_1$  como sendo linear com o tempo, representando um movimento de rotação, com velocidade angular constante e de magnitude  $\pi/2\text{ rad/s}$ ,

para o corpo  $\bar{B}_4$ :

---

```

1 Subscript[T, "SI"]=16.0;
2 ParametersList = {g-> 9.8, Subscript[m, 1]->1., Subscript[m, 2]->0.2, Subscript[\[CapitalIota],
    2]->0.2*0.1^2/12,Subscript[m, 3]-> 0.4, Subscript[\[CapitalIota], 3]->0.2*0.5^2/12, Subscript
    [m, 4]-> 0.2, Subscript[\[CapitalIota], 4]-> 0.2*0.1^2/3};
3 InitialConditions ={Subscript[q, "N",1,1][0]==0.8, Subscript[q, "N",1,2][0]==0.8, Subscript[q, "N"
    ,2,3][0]==0.15, Subscript[q, "N",2,4][0]==0.6, Subscript[q, "N",4,3][0]==0.1, Subscript[q, "N"
    ,4,4][0]==0.4, Subscript[q, 1][0]== 0};
4 InverseSimulation ["SI",Subscript[T, "SI"], ParametersList, InitialConditions , {{1}}, {\[Pi]/2
    #&}, {1,1}, {Subscript[u, 1]}, {"Discrete",500}]

```

---

Alguns dos principais resultados desta simulação são mostrados nos gráficos das Figuras 13 a 16. Em particular, é relevante mencionar que o comportamento de retorno rápido (observado, por exemplo, no histórico temporal da velocidade generalizada  $p_{P,0,1}$ ) está associado a picos no torque fornecido pelo atuador.

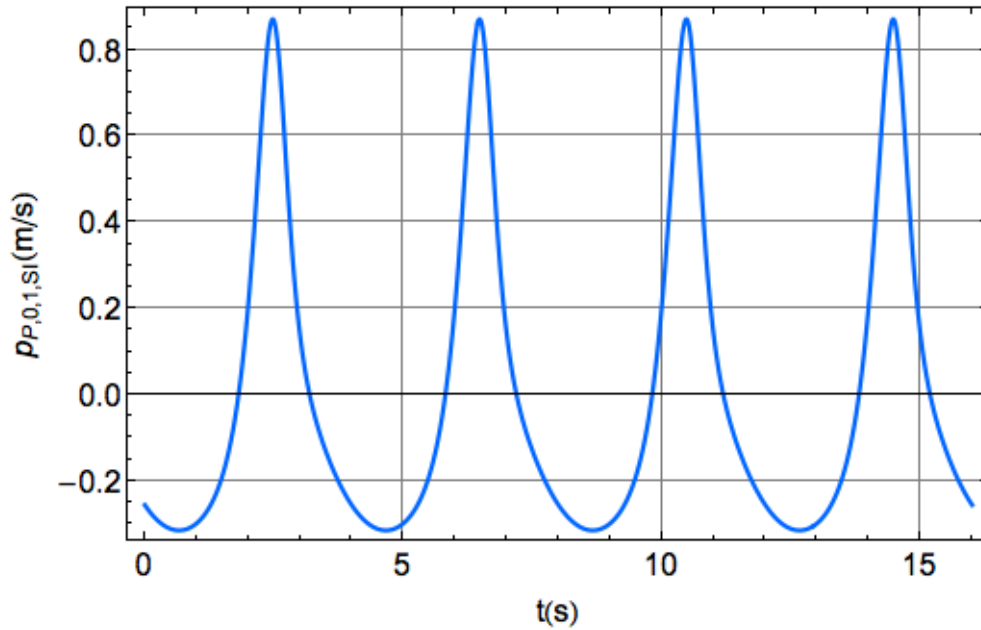


Figura 13: Histórico temporal da velocidade generalizada  $p_{P,0,1}$  na simulação SI.

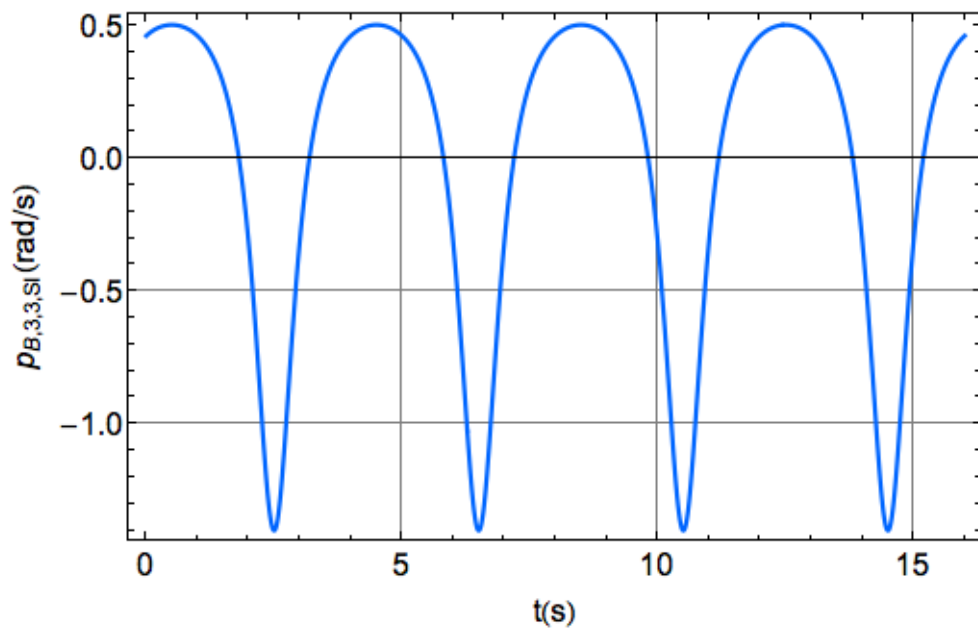


Figura 14: Histórico temporal da velocidade generalizada  $p_{B,3,3}$  na simulação SI.

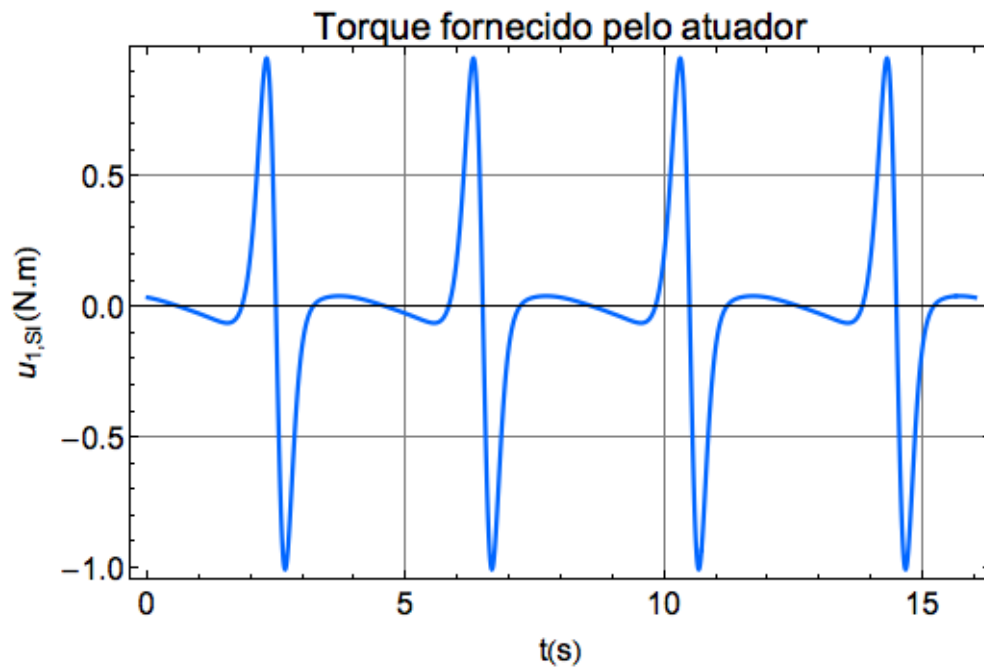


Figura 15: Histórico temporal do torque  $u_1$  fornecido pelo atuador na simulação SI.

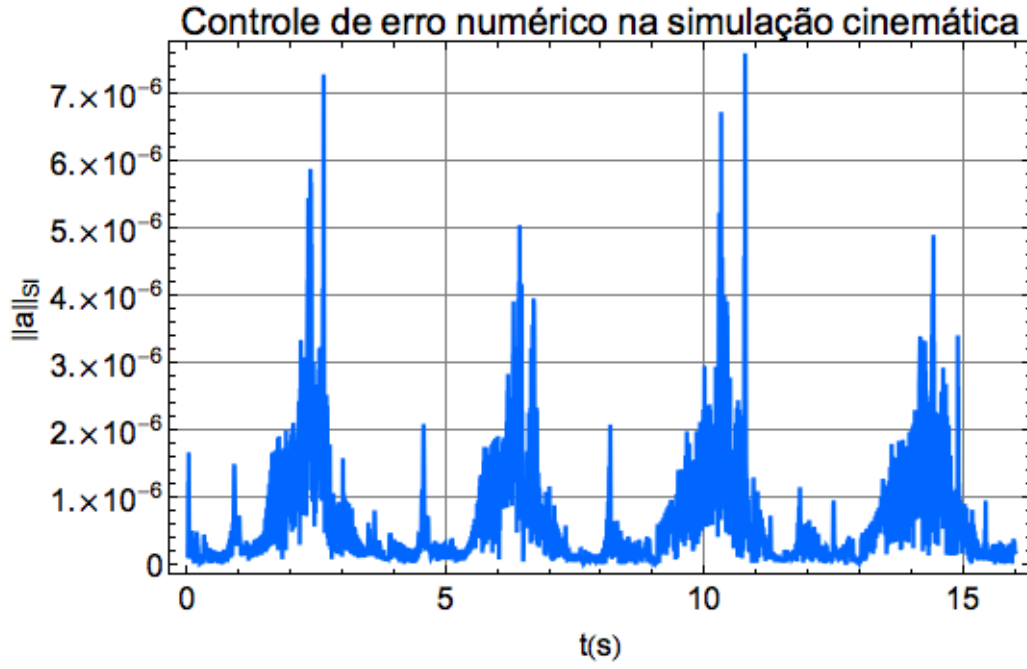


Figura 16: Histórico temporal do erro  $\|\mathbf{a}\|$  na solução numérica das equações vinculares na simulação SI.

## 5 Modelagem e simulação dinâmica inversa de um mecanismo 3 RRR utilizando o pacote “Mo2D”

Considere a representação do mecanismo paralelo 3 RRR apresentada na Figura 17. O seguinte código pode ser utilizado para a modelagem deste sistema:

---

```

1 Initialize [ ]
2 RigidBody [0,3,{1,1},{0,0},0,0,{0,0},{0,0,0}]
3 RigidBody[1,4,{3,4},{1/2,Sqrt[3]/6}],Subscript[m, 1],Subscript[\[ Capitallota ], 1],{0,0},{0,0,0}]
4 RigidBody[2,2,{1,2},{1/2,0}],Subscript[m, 2],Subscript[\[ Capitallota ], 2],{0,0},{0,0,0}]
5 RigidBody[3,2,{1,2},{1/2,0}],Subscript[m, 2],Subscript[\[ Capitallota ], 2],{0,0},{0,0,0}]
6 RigidBody[4,2,{1,2},{1/2,0}],Subscript[m, 2],Subscript[\[ Capitallota ], 2],{0,0},{0,0,0}]
7 RigidBody[5,2,{1,2},{0,0}],Subscript[m, 3],Subscript[\[ Capitallota ], 3],{0,0},{0,0,0}]
8 RigidBody[6,2,{1,2},{0,0}],Subscript[m, 3],Subscript[\[ Capitallota ], 3],{0,0},{0,0,0}]
9 RigidBody[7,2,{1,2},{0,0}],Subscript[m, 3],Subscript[\[ Capitallota ], 3],{0,0},{0,0,0}]
10 BaseBody[0,{Subscript[q, "N",0,1]==3, Subscript[q, "N",0,2]==0, Subscript[q, "N",0,3]==-(3/2),
    Subscript[q, "N",0,4]==(3 Sqrt[3])/2, Subscript[q, "N",0,5]==-(3/2), Subscript[q, "N",
    ,0,6]==-((3 Sqrt[3])/2)}]
11 RevoluteJoint [0,1,5,1, Subscript[u, 1][t]]
12 RevoluteJoint [0,2,6,1, Subscript[u, 2][t]]
13 RevoluteJoint [0,3,7,1, Subscript[u, 3][t]]
14 RevoluteJoint [1,2,2,1,0]
15 RevoluteJoint [1,3,3,1,0]
```

```

16 RevoluteJoint [1,4,4,1,0]
17 RevoluteJoint [2,2,5,2,0]
18 RevoluteJoint [3,2,6,2,0]
19 RevoluteJoint [4,2,7,2,0]
20 AddCoordinate[Subscript[q, 1][t], Subscript[q, 1][t]-Subscript[p, "B", 1,3][t]]
21 VariableReduction[ ]
22 DynamicModel[ ]

```

Todas as juntas existentes neste mecanismo são rotativas, sendo ativas apenas as existentes entre a base  $\bar{B}_0$  e os corpos  $\bar{B}_5$ ,  $\bar{B}_6$  e  $\bar{B}_7$ . Os torques fornecidos pelos atuadores nestas juntas são denotados respectivamente por  $u_1$ ,  $u_2$  e  $u_3$ . Supõe-se que o mecanismo está montado sobre um plano horizontal, de tal forma que não há influência do campo gravitacional nos movimentos do mesmo. Ainda, por questões de conveniência, é definida a coordenada angular  $q_1$  cuja derivada temporal é igual à velocidade generalizada  $p_{B,1,3}$ .

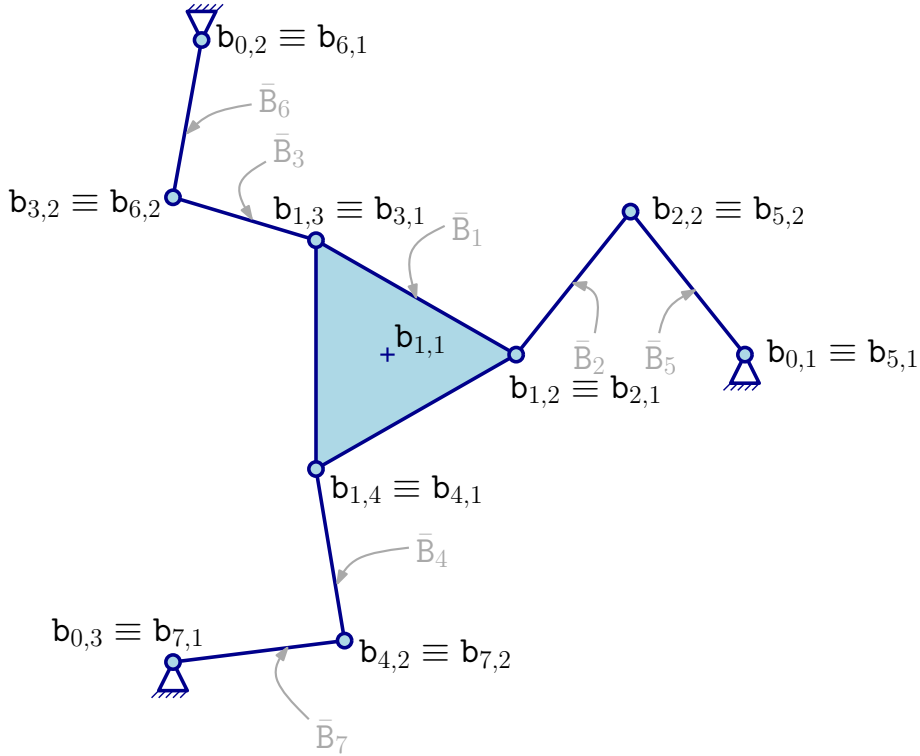


Figura 17: Representação do mecanismo paralelo 3 RRR.

O seguinte código define uma simulação dinâmica inversa denominada SI na qual são prescritos  $q_{N,1,1}(t) = -\sin(\pi t/2)$ ,  $q_{N,1,1}(t) = \sin(\pi t/4)$  e  $q_1(t) = (\pi/6) \sin(\pi t/4)$ :

```

1 Subscript[T, "SI"] = 16.0;
2 ParametersList = {g -> 9.8, Subscript[m, 1] -> 1., Subscript[\[CapitalIota], 1] -> 0.25, Subscript[m,
  2] -> 0.5, Subscript[\[CapitalIota], 2] -> 1./6, Subscript[m, 3] -> 0.5, Subscript[\[CapitalIota],
  3] -> 2./3};
3 InitialConditions = {Subscript[q, "N", 1,1][0] == 0, Subscript[q, "N", 1,2][0] == 0, Subscript[q, "N",
  1,3][0] == 1, Subscript[q, "N", 1,4][0] == 0, Subscript[q, "N", 2,3][0] == 2, Subscript[q, "N", 2,4][0] ==
  Sqrt[3], Subscript[q, "N", 1,5][0] == -(1/2), Subscript[q, "N", 1,6][0] == Sqrt[3]/2, Subscript[q, "N",

```

```

,3,3][0]==-(5/2),Subscript[q, "N",3,4][0]==Sqrt[3]/2,Subscript[q, "N",1,7][0]==-(1/2),
Subscript[q, "N",1,8][0]==-(Sqrt[3]/2),Subscript[q, "N",4,3][0]==1/2,Subscript[q, "N"
,4,4][0]==-((3 Sqrt[3])/2),Subscript[q, 1][0]== 0};
4 InverseSimulation ["SI",Subscript[T, "SI"], ParametersList, InitialConditions , {{ "N",1,1},{ "N"
,1,2},{1}},{-1Sin[\[Pi]/2 #]&,1Sin[\[Pi]/4 #]&,\[Pi]/6 Sin[\[Pi]/4 #]^4&}, {1,1}, {Subscript[u
, 1],Subscript[u, 2],Subscript[u, 3]}, {"Discrete",500}]

```

---

Alguns dos resultados obtidos nestas simulações são mostrados nos gráficos das Figuras 18 a 24. Além disso, a Figura 25 apresenta o gráfico de linhas produzido pelo comando `Animation[0]`, que mostra a configuração instantânea do sistema no instante  $t = 0$ .

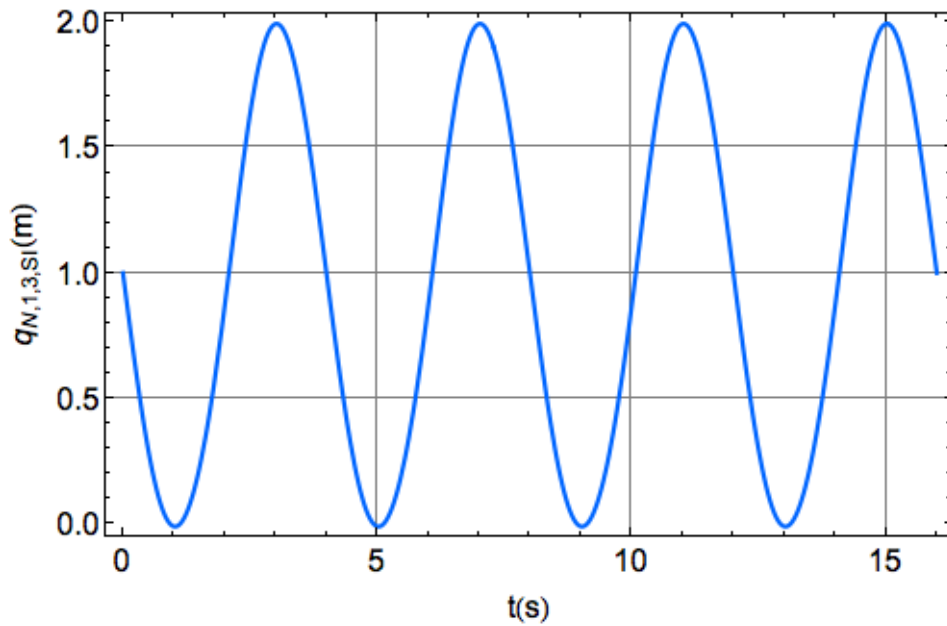


Figura 18: Histórico temporal da coordenada generalizada  $q_{N,1,3}$  na simulação SI.

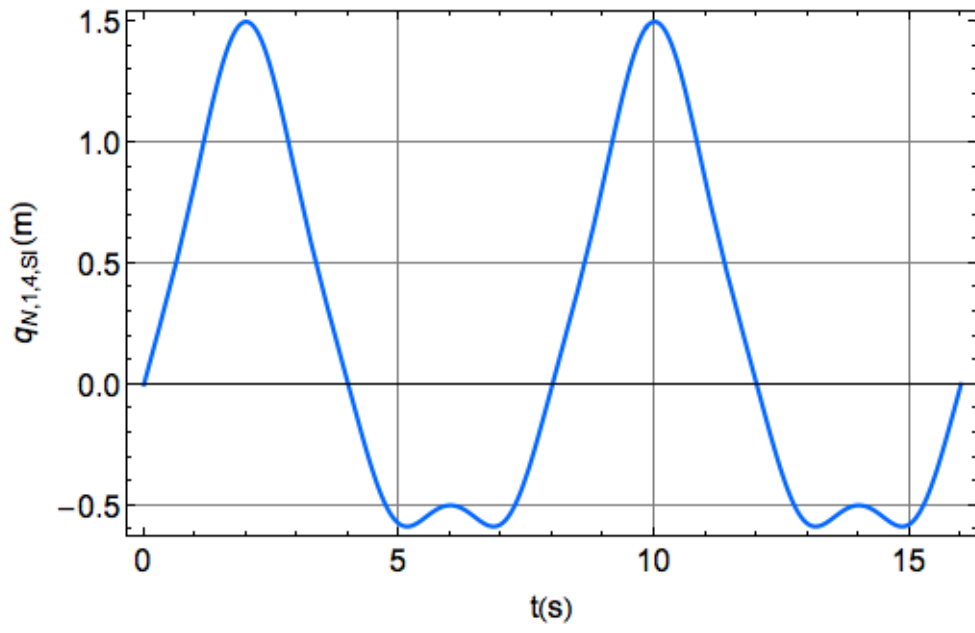


Figura 19: Histórico temporal da coordenada generalizada  $q_{N,1,4}$  na simulação SI.

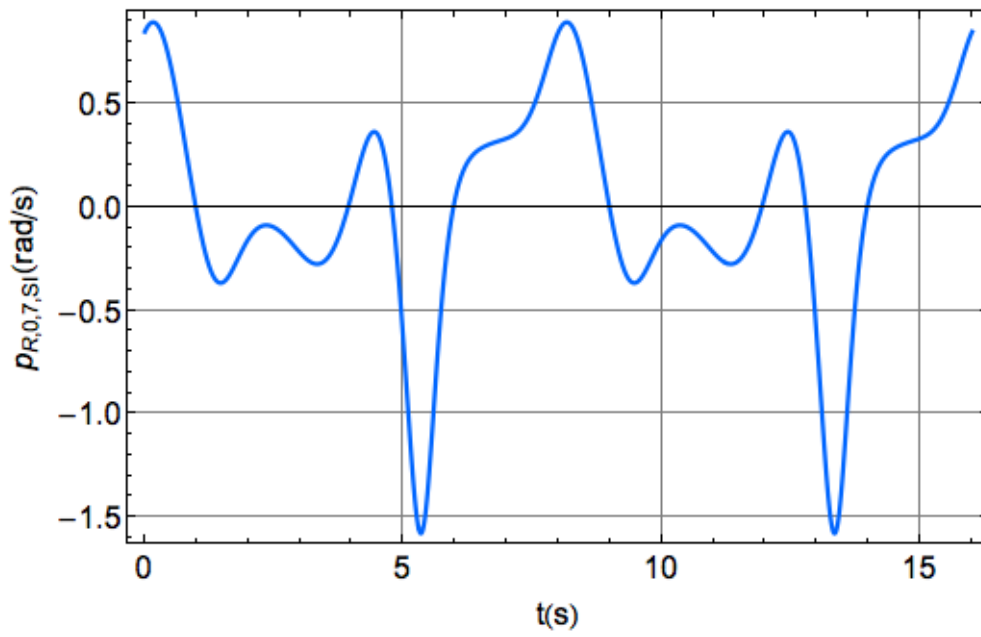


Figura 20: Histórico temporal da velocidade generalizada  $p_{R,0,7}$  na simulação SI.



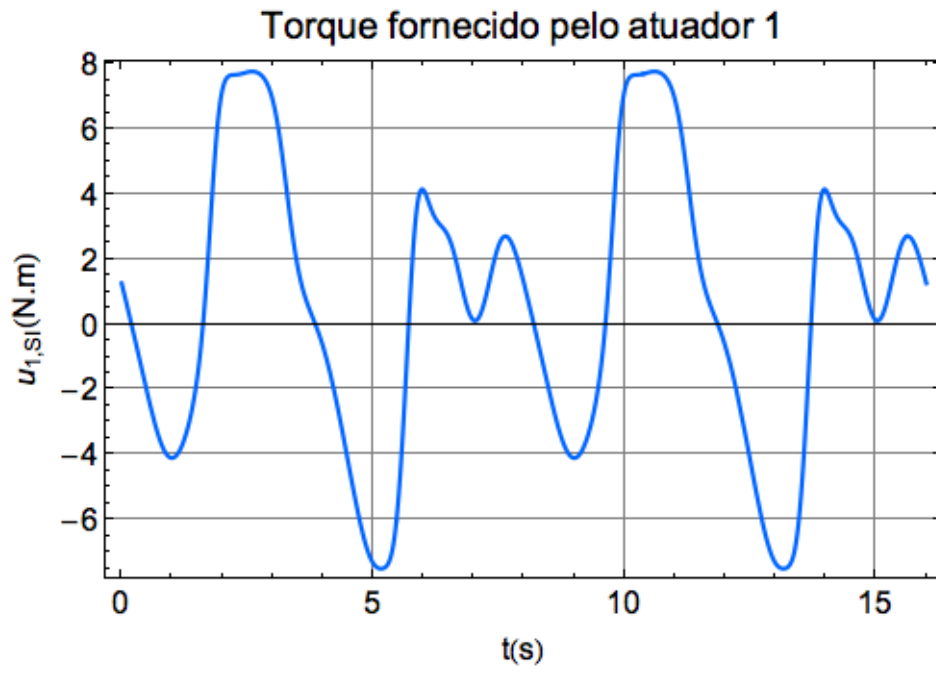


Figura 21: Histórico temporal do torque  $u_1$  na simulação SI.

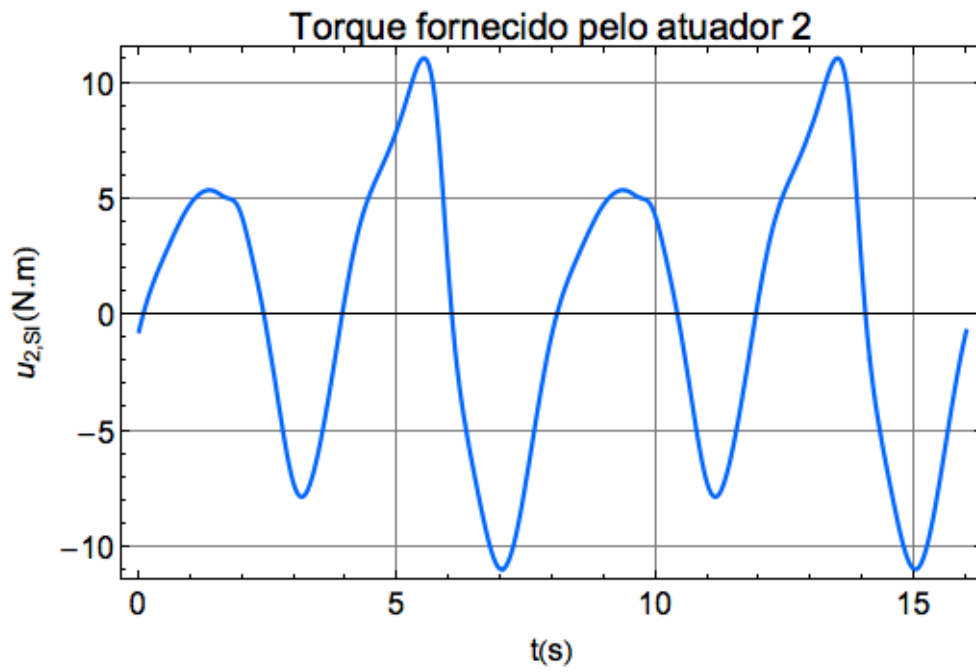


Figura 22: Histórico temporal do torque  $u_2$  na simulação SI.

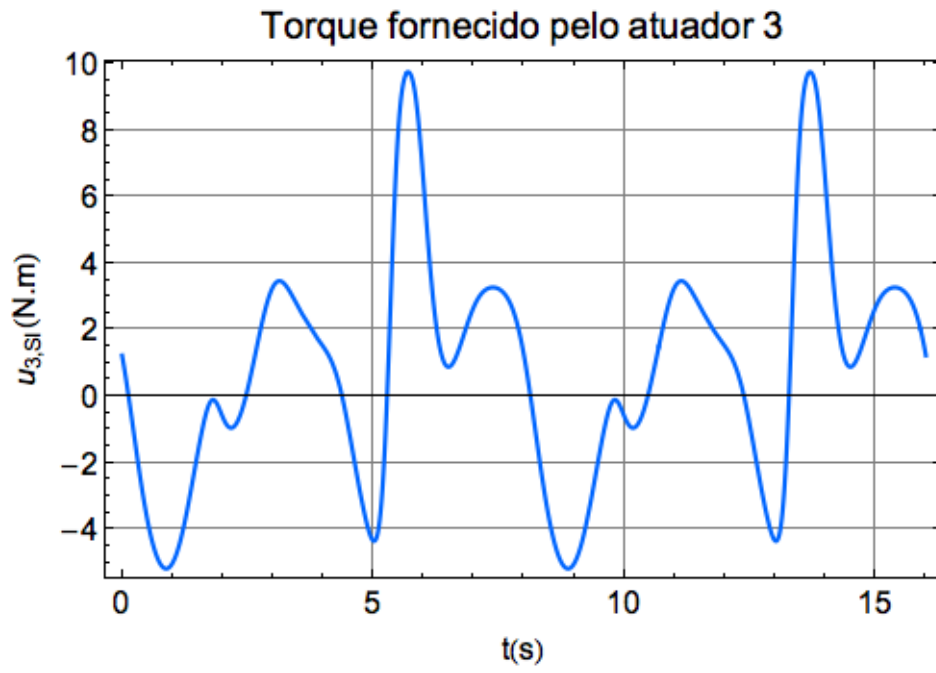


Figura 23: Histórico temporal do torque  $u_3$  na simulação SI.

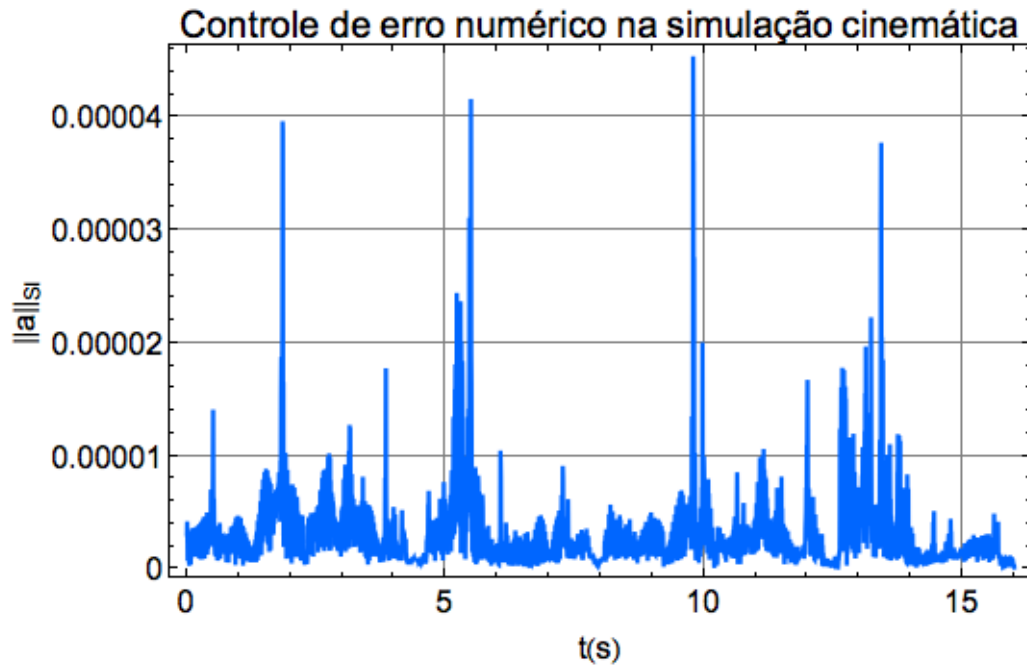


Figura 24: Histórico temporal do erro  $\|\mathbf{a}\|$  na solução numérica das equações vinculares na simulação SI.

